

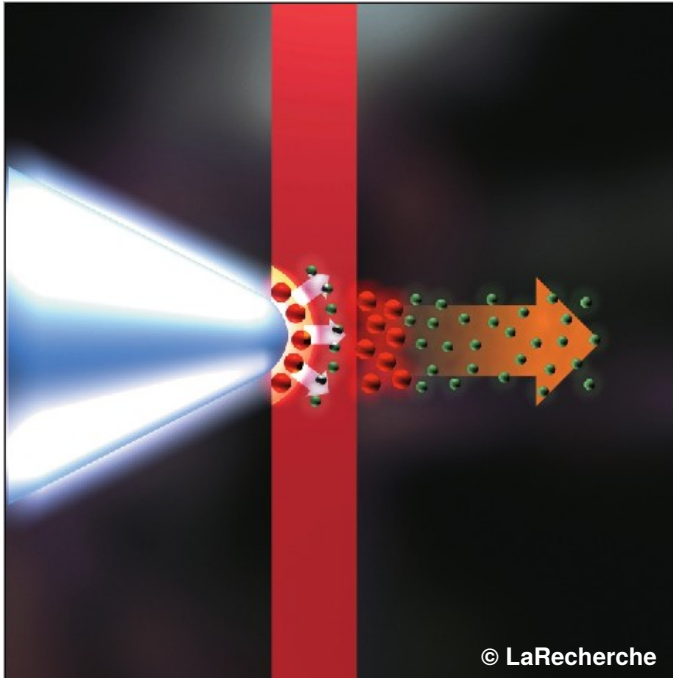


Focus sur les techniques d'accélération laser-plasma

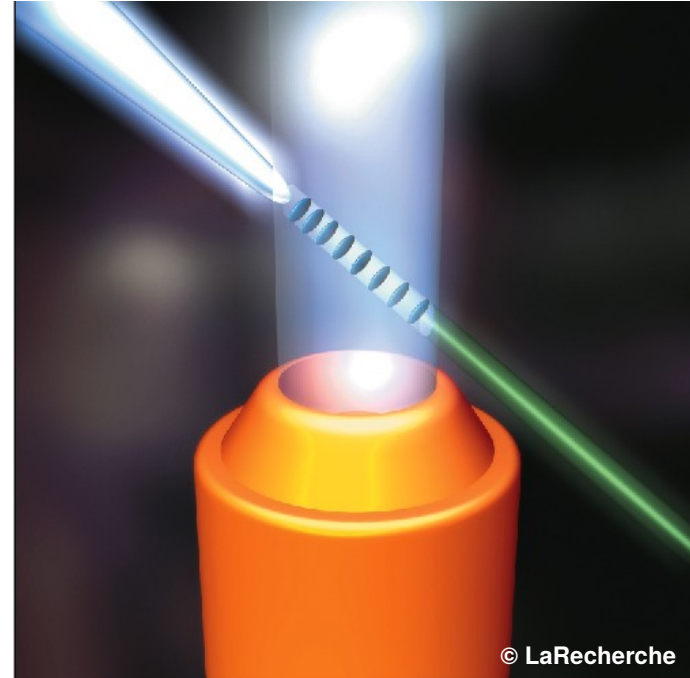
Alessandro Flacco
Laboratoire d'Optique Appliquée
ENSTA, École Polytechnique, CNRS-UMR7639
Palaiseau, France

alessandro.flacco@ensta-paris.fr

Les accélérateurs laser-plasma



© LaRecherche



© LaRecherche

High accelerating gradients ($\text{GV/m} \rightarrow \text{TeV/m}$): smaller machines

Industrial advantages: reduced radioprotection burden, ease of beam distribution

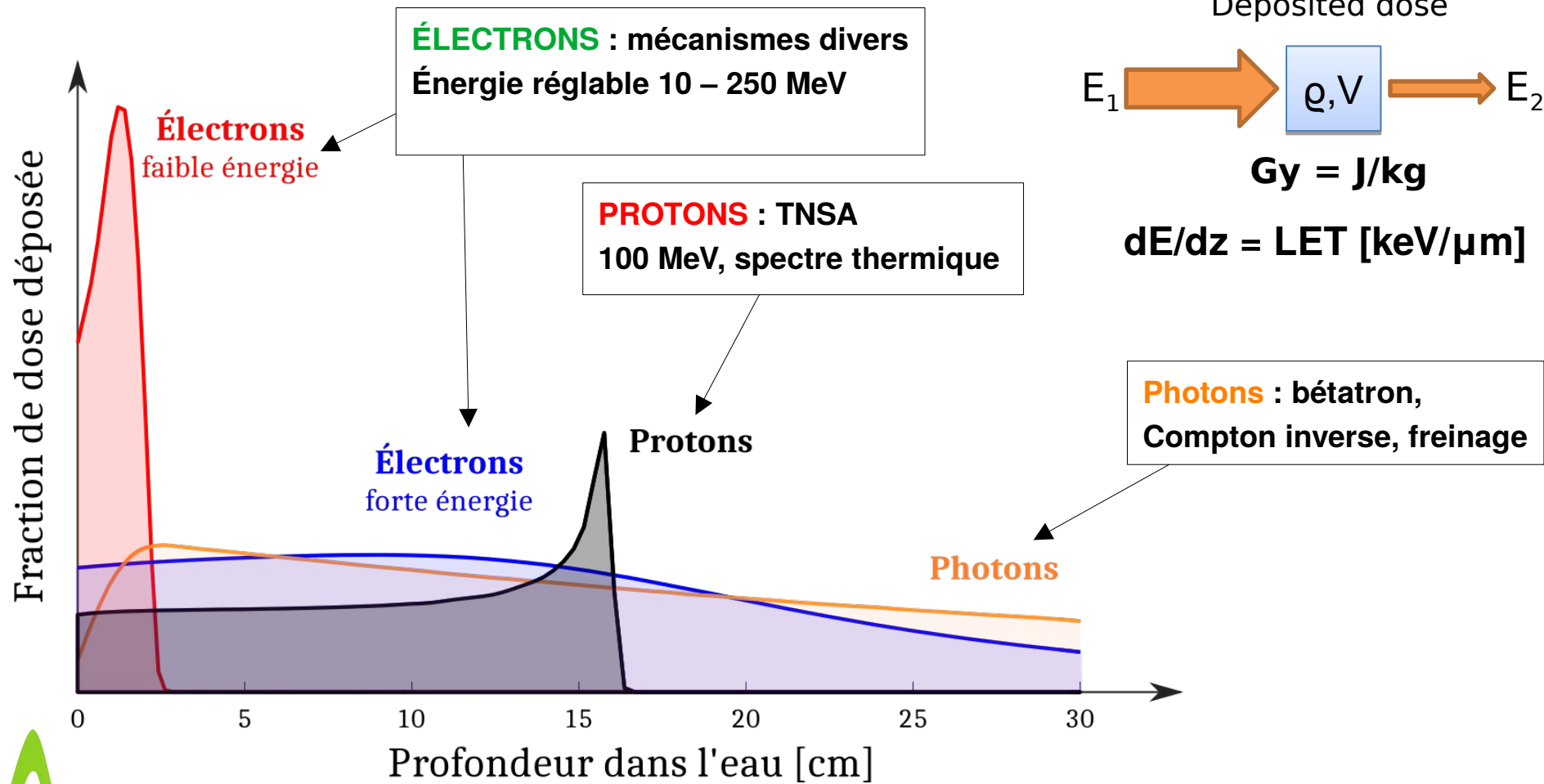
Exciting features: rich physics behind, exotic parameters (duration, brilliance, ...), versatility

Energies: 100s MeV (protons), >1 GeV (electrons)

Duration: 10fs - ps

Charges: pC – 100s nC

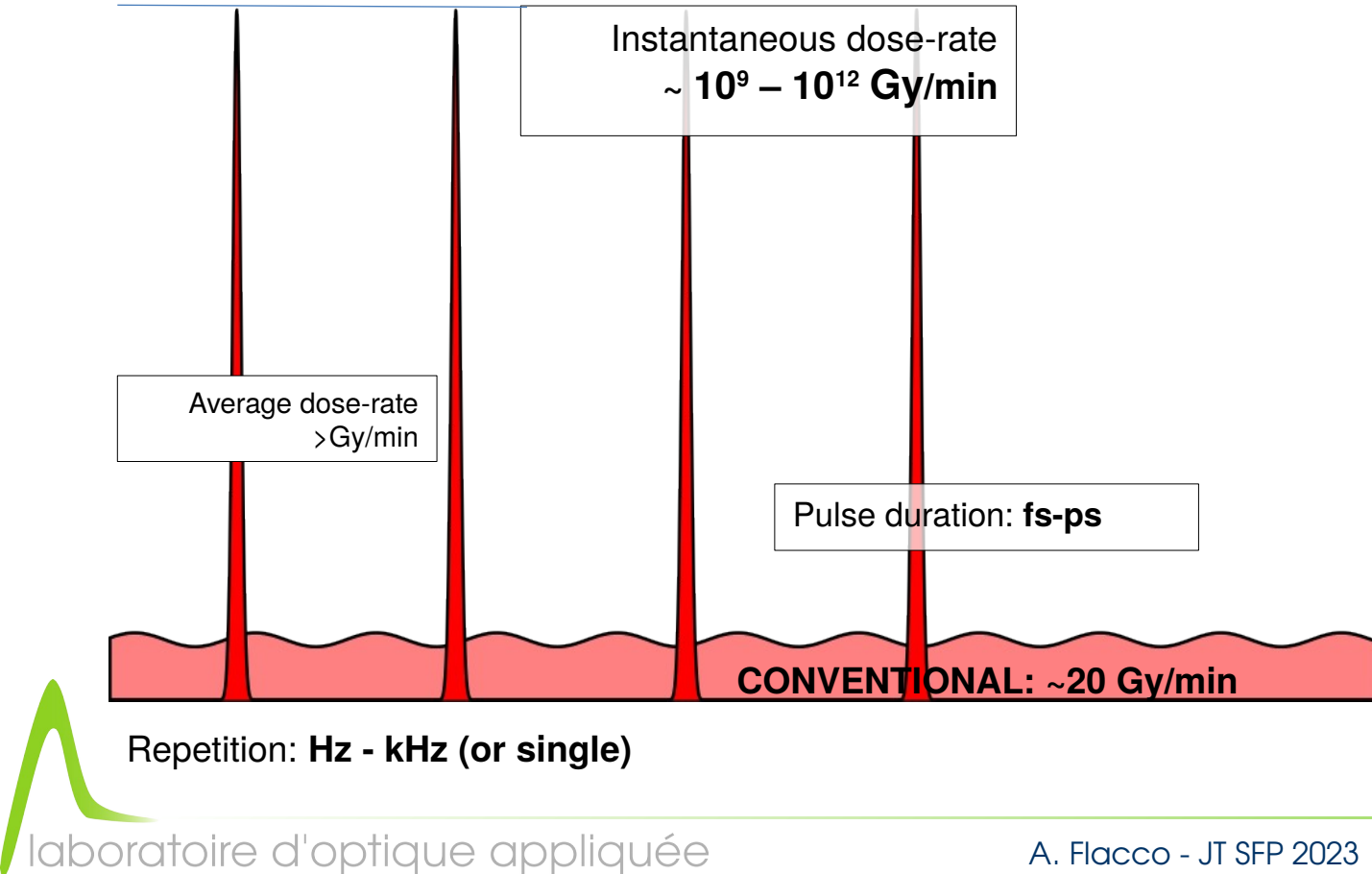
Source versatile et réglable



Echelle temporelle : fractionnement rapide(*)

Considering common ~1Watt average power laser:
(at ~20 Gy/min. condition)

LASER-DRIVEN



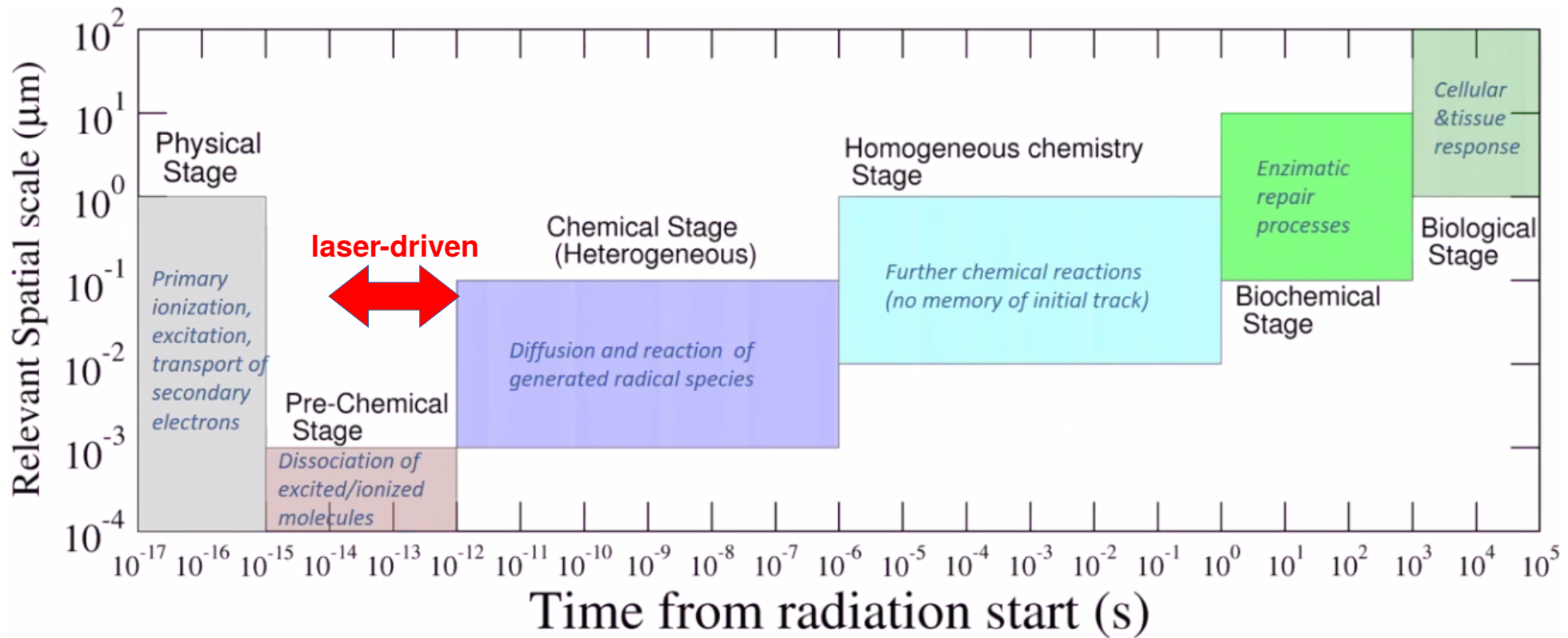
High rep. rate, low dose
kHz, 100s μ Gy/pulse.
Continuous-like?

~**Hz rep. rate**, ~100s mGy/pulse.
Fast-fractionated (*)

Single pulse (>10Gy) irradiation
FLASH (?)

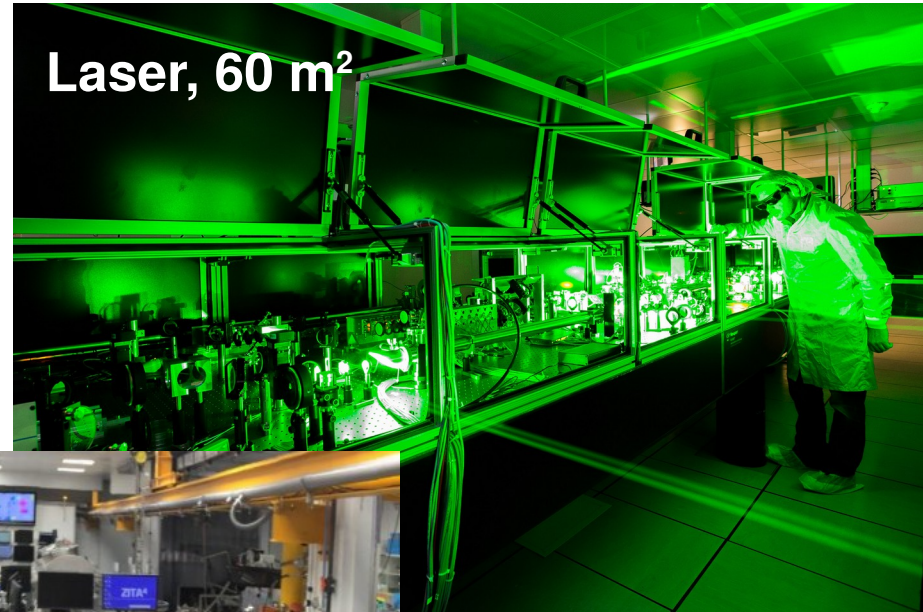
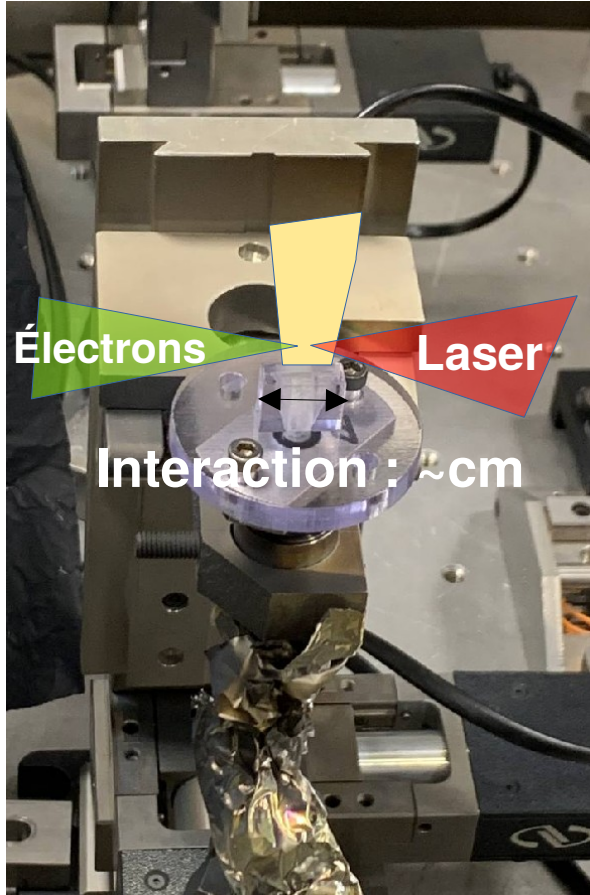
(*) Bayart et al., Sci Rep. 2019

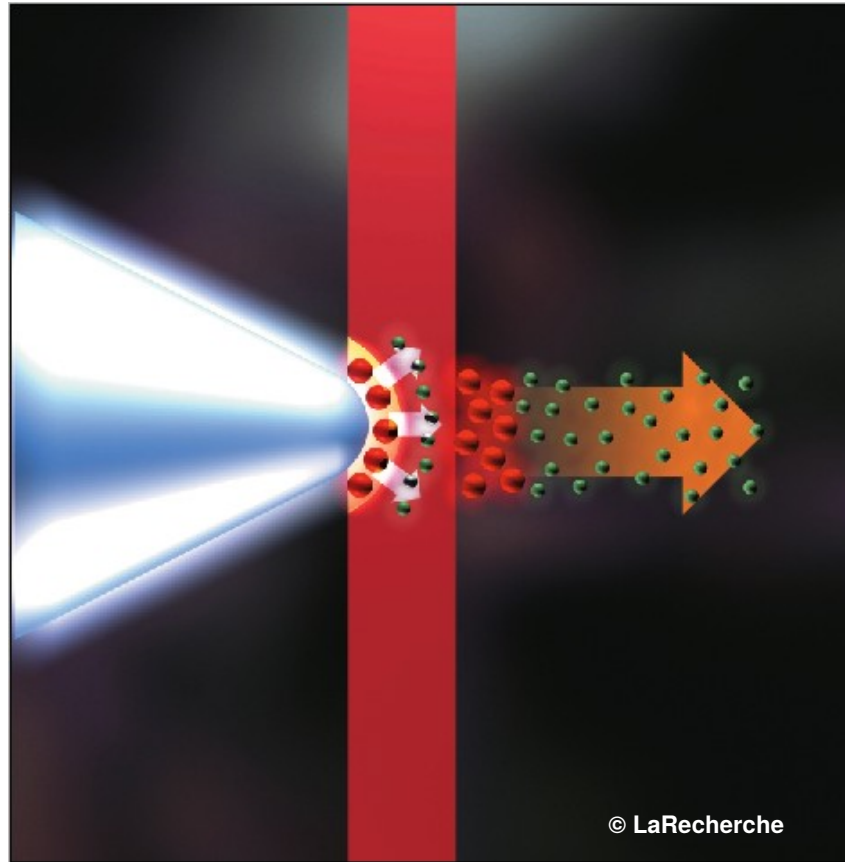
Dose et temps



(courtesy E. Scifoni, Uni TN)

Échelles spatiale (Salle Jaune, LOA)

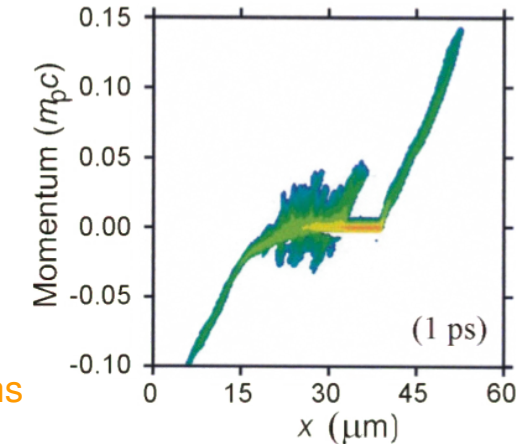
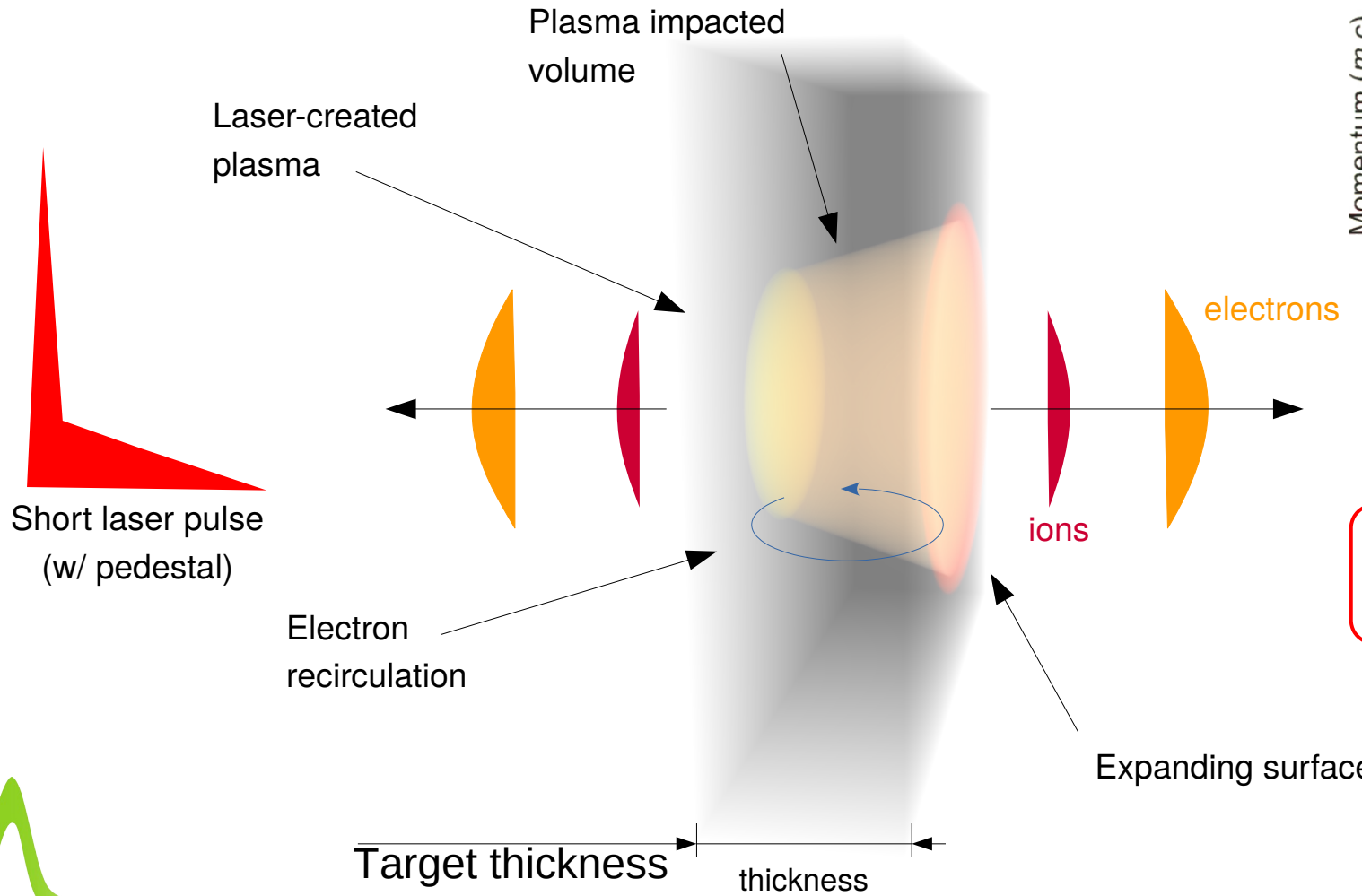




© LaRecherche

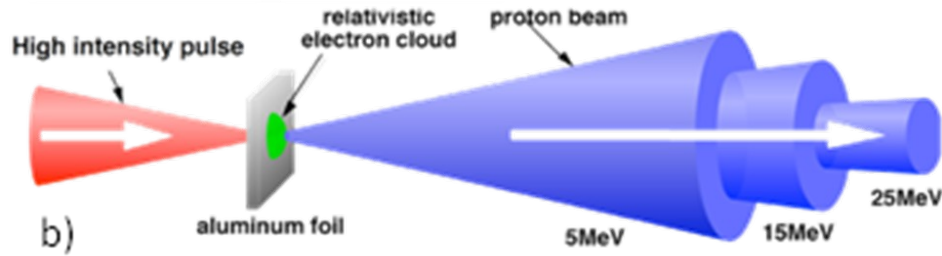


TNSA: Target Normal Sheath Acceleration

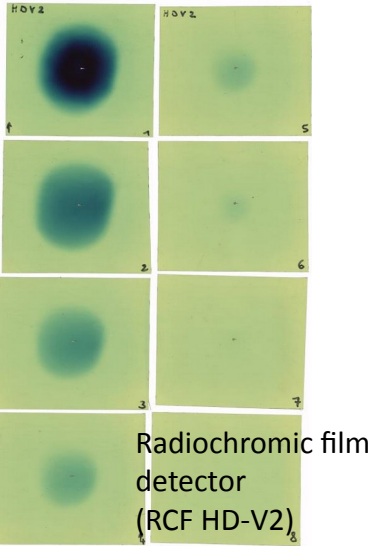


$$E_p \propto I_0^{1/2}$$

Energy, charge and divergence

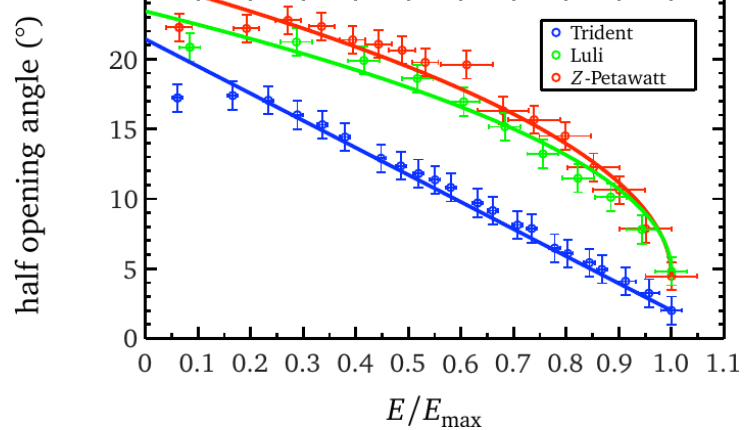
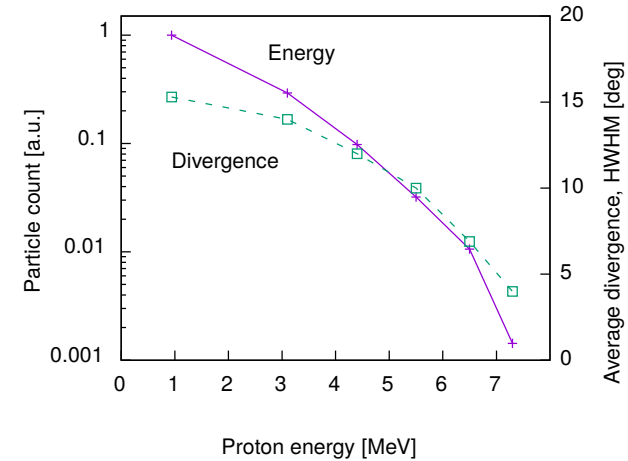
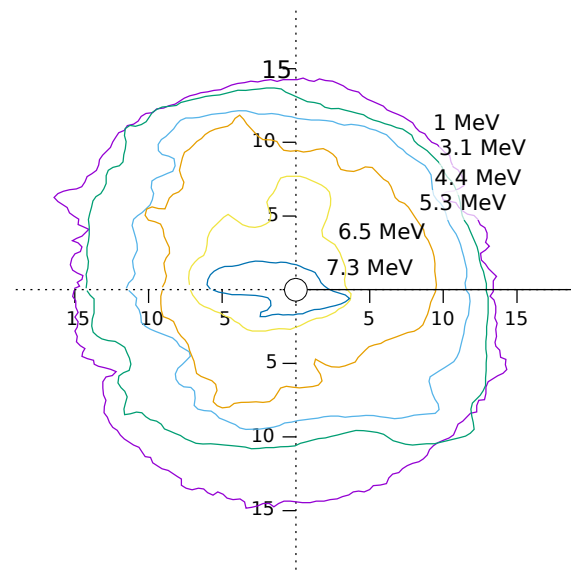


b)



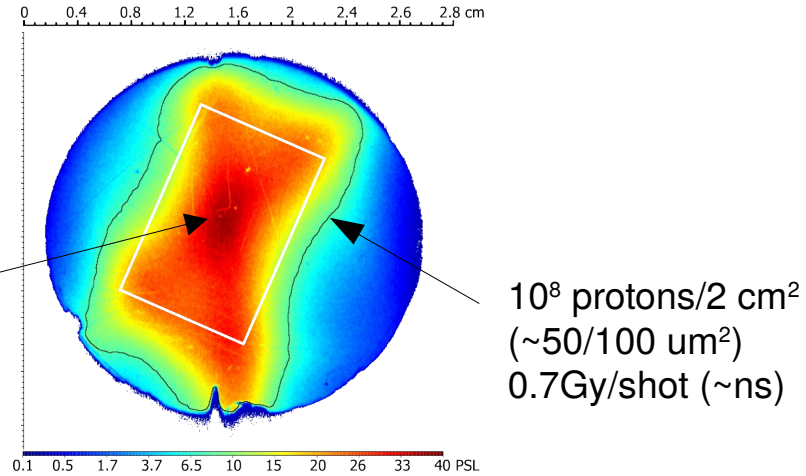
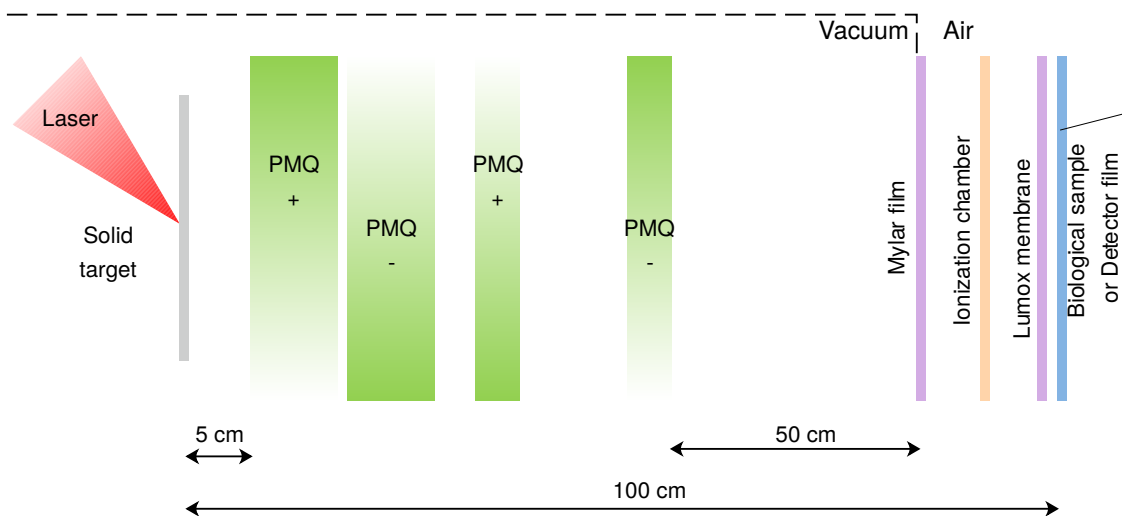
Charge: 1 – 10 nC (depending on laser energy and waist)

Spectrum: thermal (with sharp cutoff)

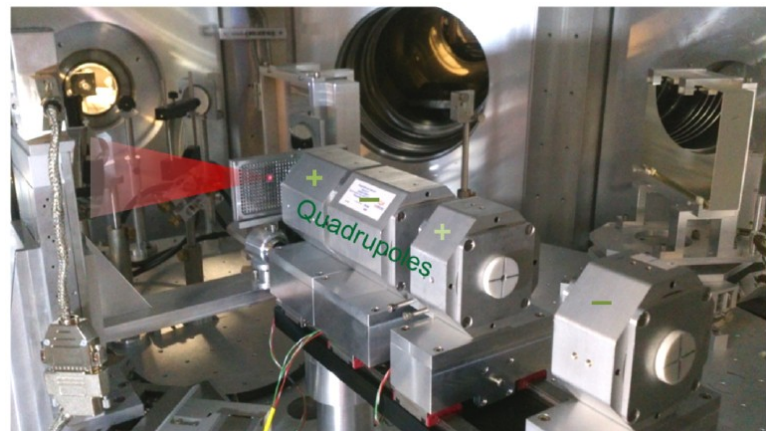


M. Roth, doi:10.5170/CERN-2016-001.231 (2016)

Transport par quadrupoles permanents (LOA, 2017)

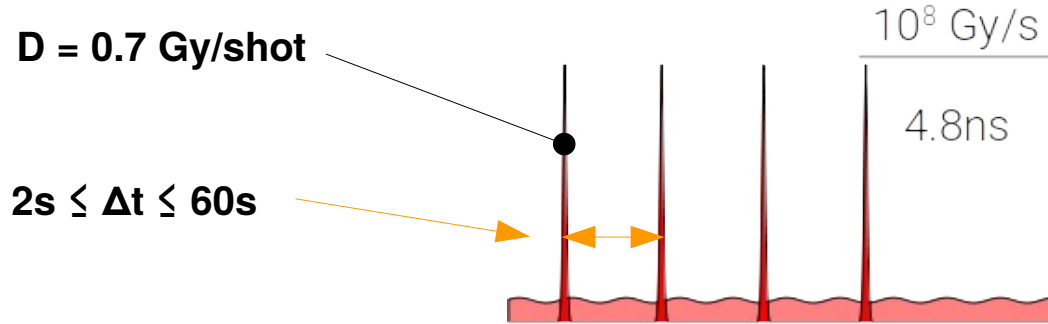


10^8 protons/ 2 cm^2
(~50/100 μm^2)
0.7Gy/shot (~ns)



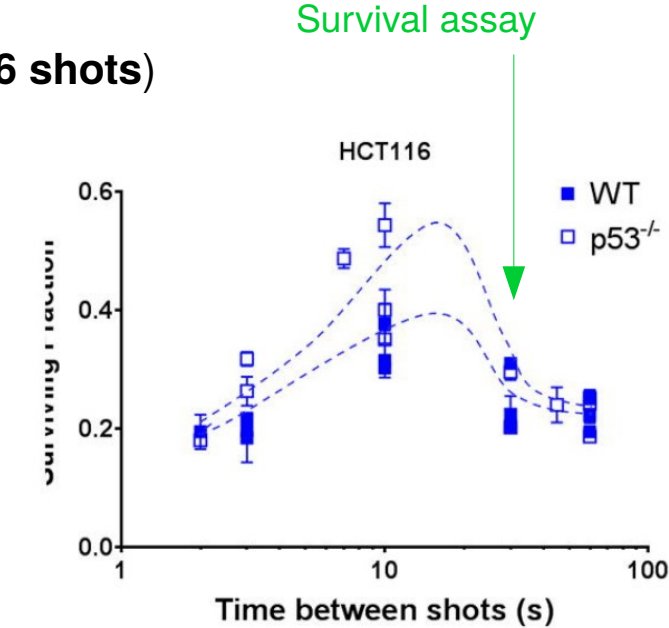
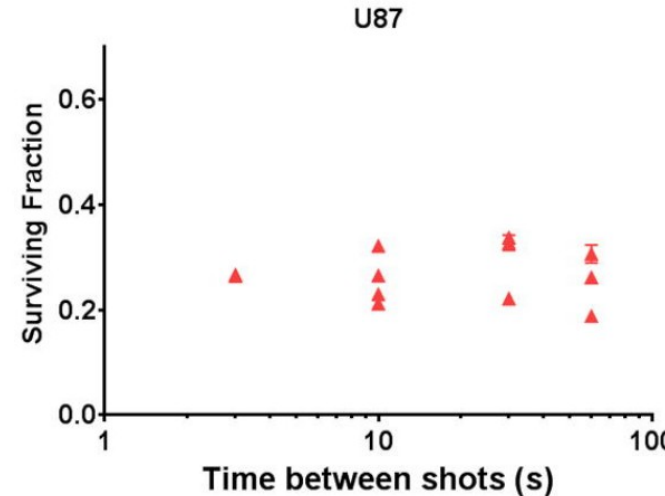
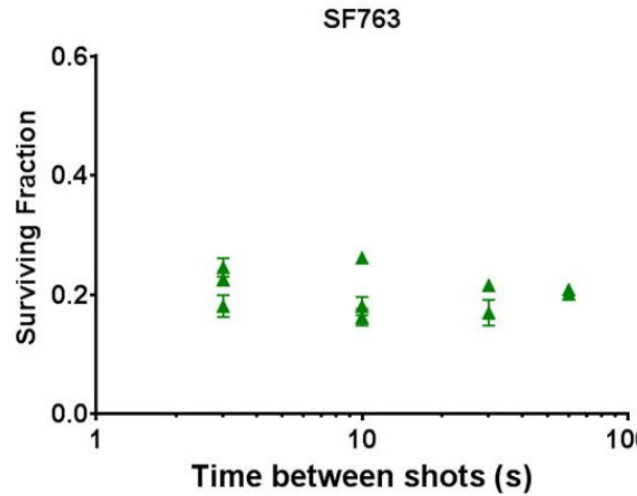
L. Pommarel, Ph.D thesis, EDOM 2017
F. Schillaci, L. Pommarel et al., J. Inst. 2016
L. Pommarel et al, Phys. Rev. Acc. Beam, 2017

Effet de cadence

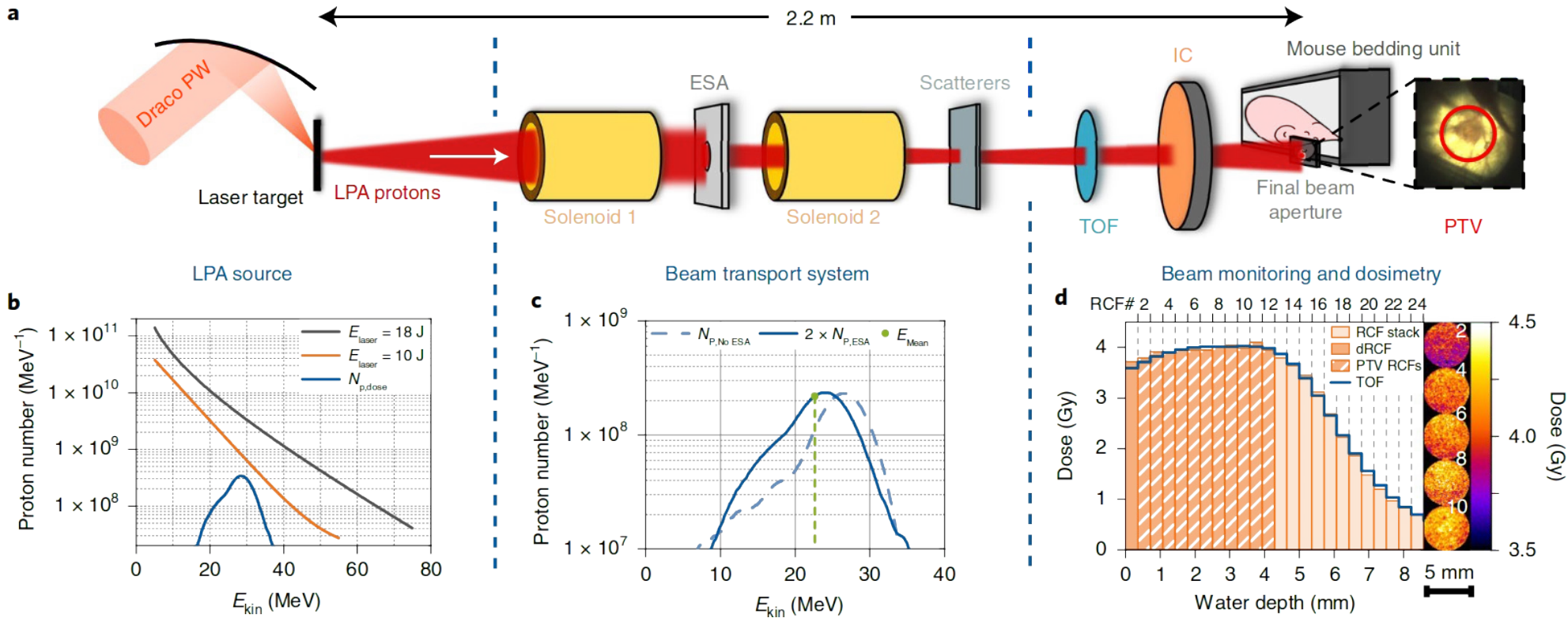


- Toxicity varies with time (at constant dose)
- $D_{10}(\text{WT}) \rightarrow D_{10}(\text{p53})$

Varying pace at $D_{10}(\text{HCT116-WT}) \approx 4.2 \text{ Gy (6 shots)}$



Transport par solénoïde pulsé (HZDR Dresden, 2022)



4 Gy/tir, 5 mm diamètre,
4 mm SOBP

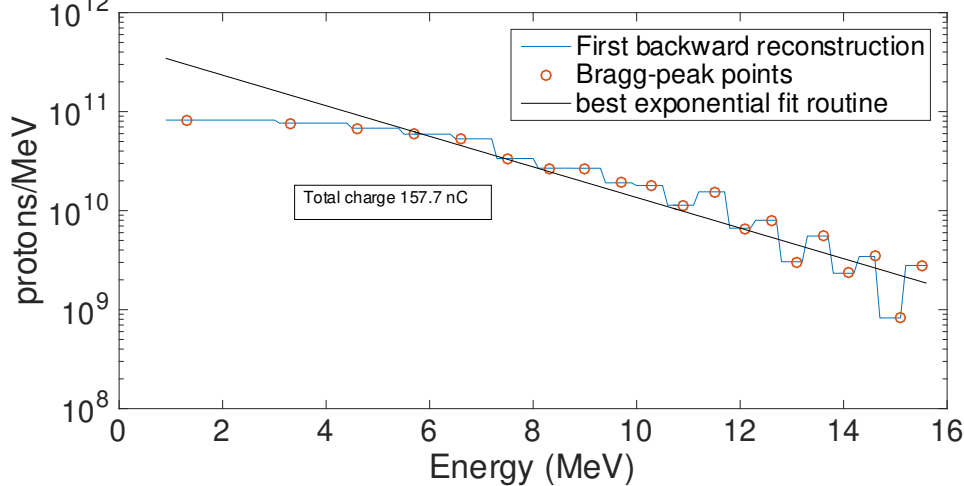
Kroll et al, Nat Phys 2022

Single pulse laser irradiation: FLASH



LABORATOIRE
D'OPTIQUE ET
BIOSCIENCES
ÉCOLE POLYTECHNIQUE

Pico2000
laser

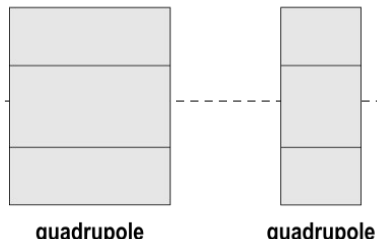


PROTON SOURCE

Duration: ~ps

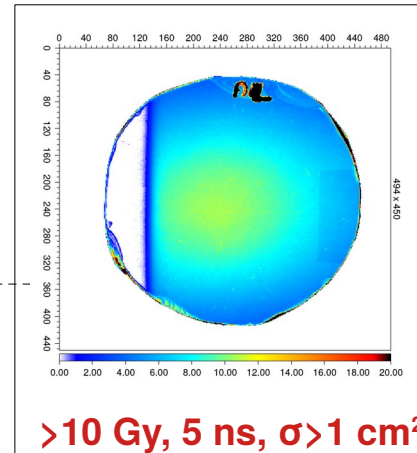
Charge: > 150 nC/pulse

E_{\max} : 20 MeV



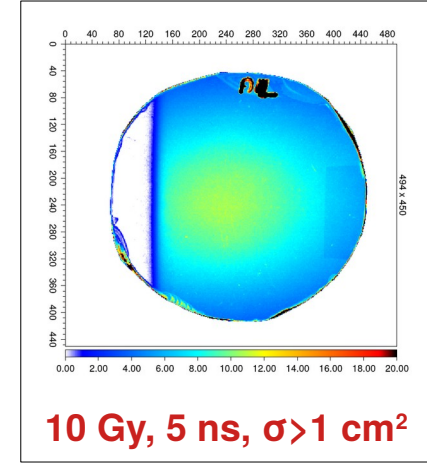
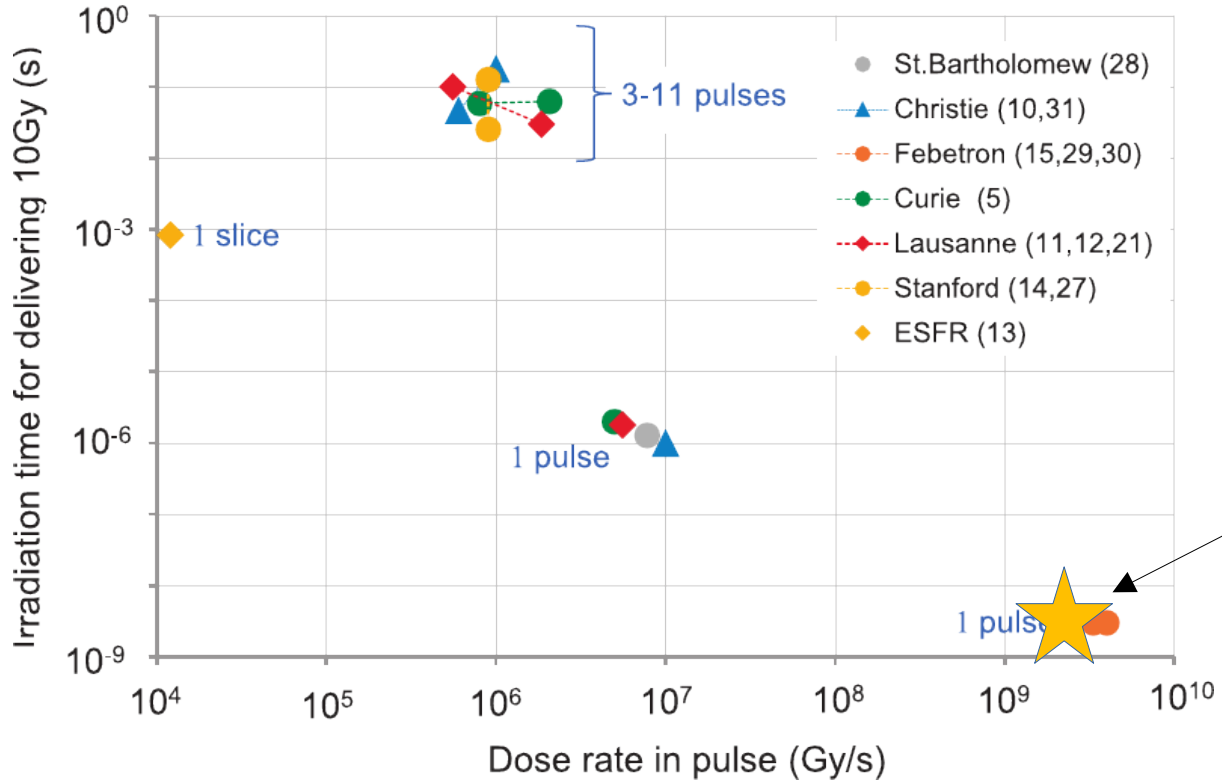
scattering
system

vacuum/air
separation



Laser-driven protons, FLASH

Conditions to obtain a reproducible FLASH effect

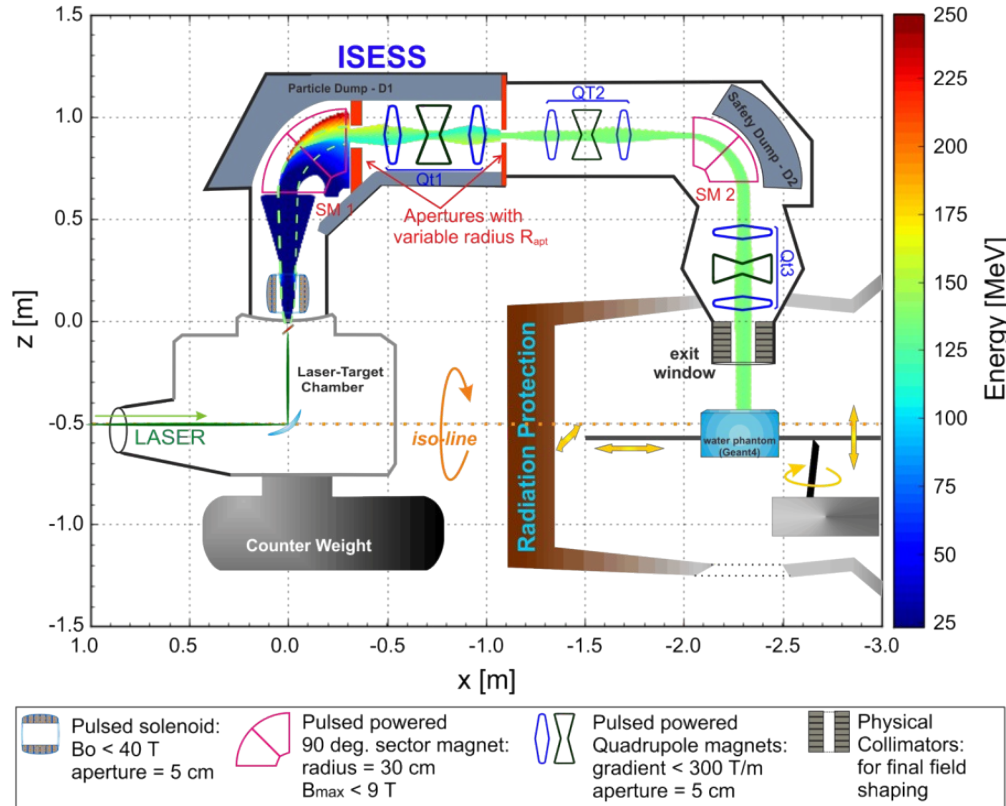


J. D. Wilson et al., Frontiers in Oncology, vol. 9, Jan. 2020, doi: 10.3389/fonc.2019.01563.



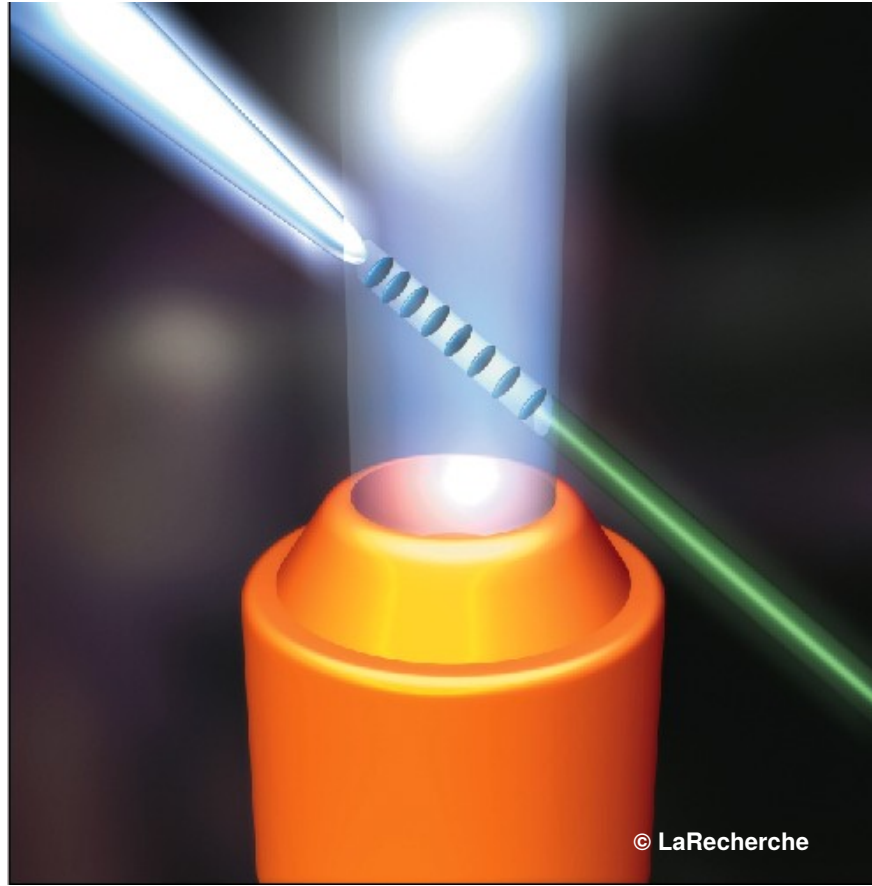
Conclusions protons

- Accélérateur compacte ↗
- Gradient accélérateur très important (TV/m) ↗
- Énergies thérapeutiques difficiles à obtenir
- Spectre difficile à manier (grosse pertes d'efficacité) ↘
→ plus grand laser !
- Option : « gantry pulsé »



Masood et al, APB 2014

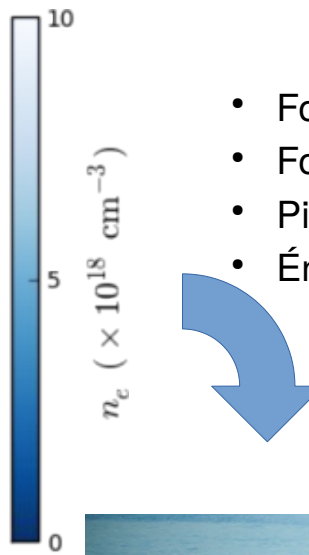
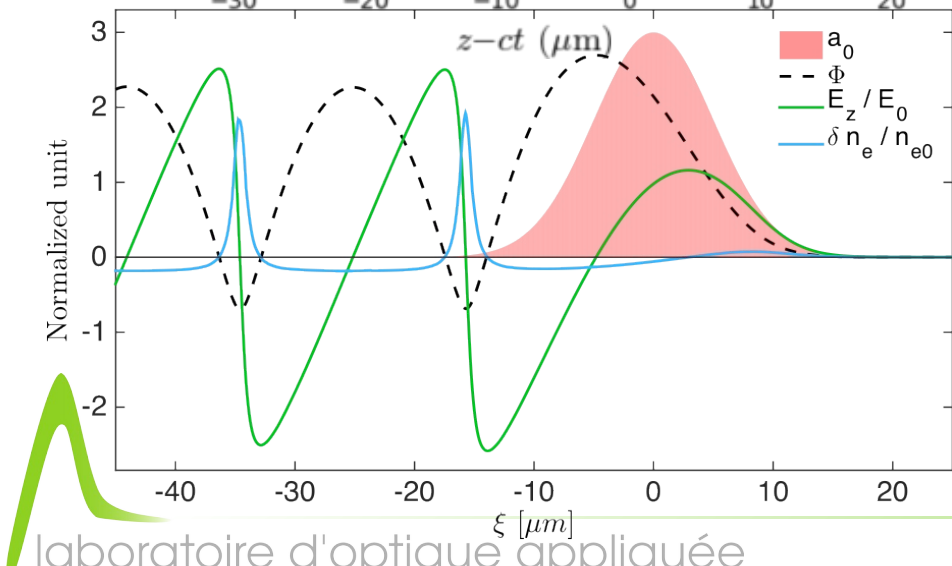
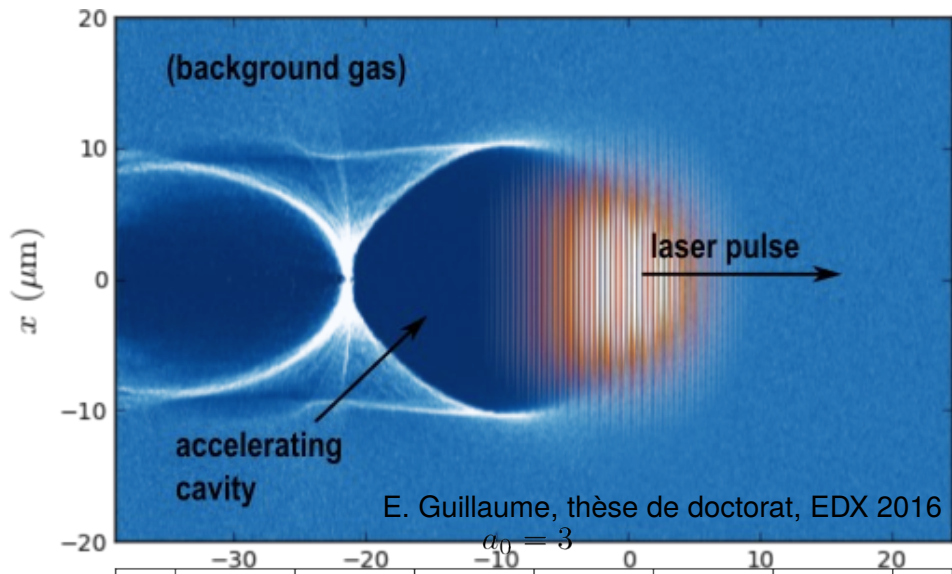




© LaRecherche



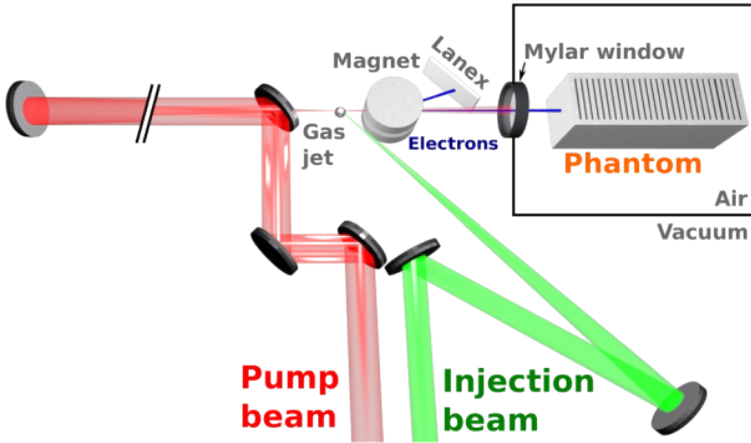
Accélération d'électrons par laser



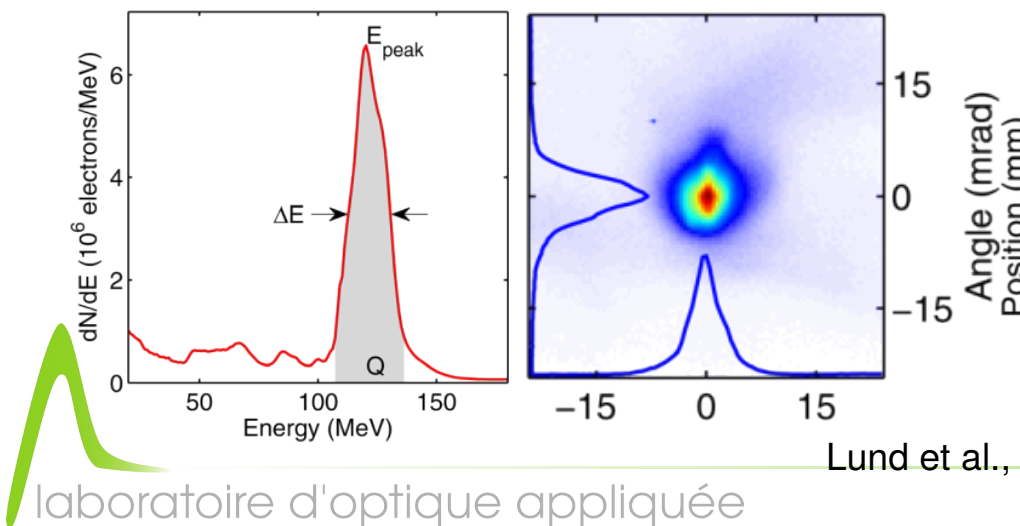
- Formation d'une onde de sillage
- Formation d'une cavité accélératrice
- Piégeage et accélération des électrons
- Énergies et conditions diverses...



Premières irradiation de fantôme (LOA, 2012)

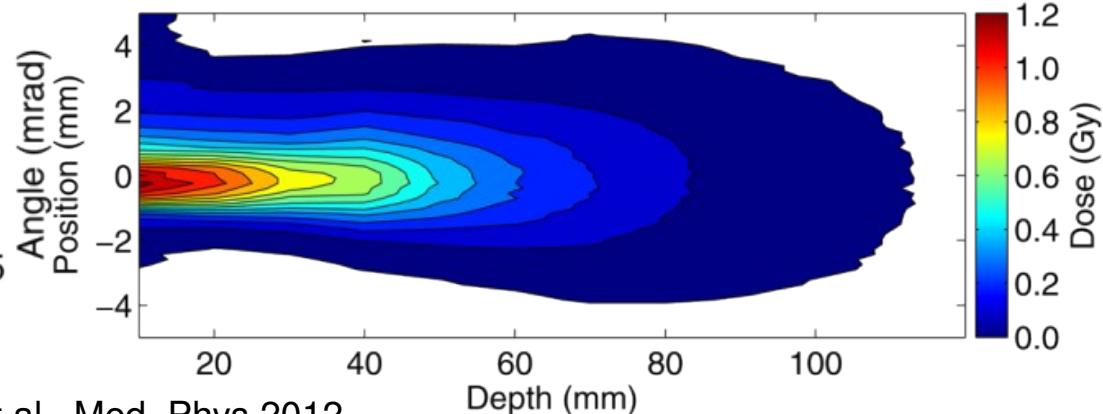


- Faisceau peu divergent (irradiation directe, PBS)
- Contrôle sur le spectre (changement d'énergie)
- $E = 120 \text{ MeV}$ (spectre piqué)
- $\sim 100\text{s mGy/tir}$, mais petite surface

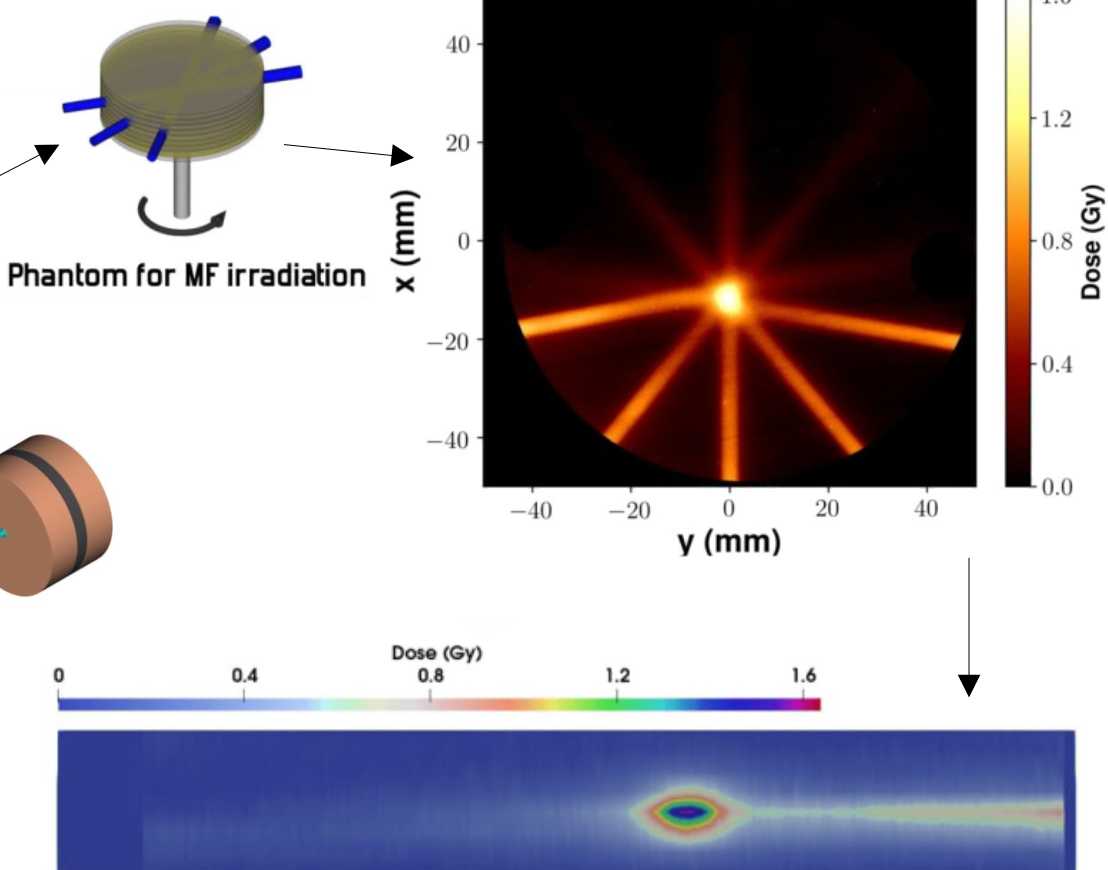
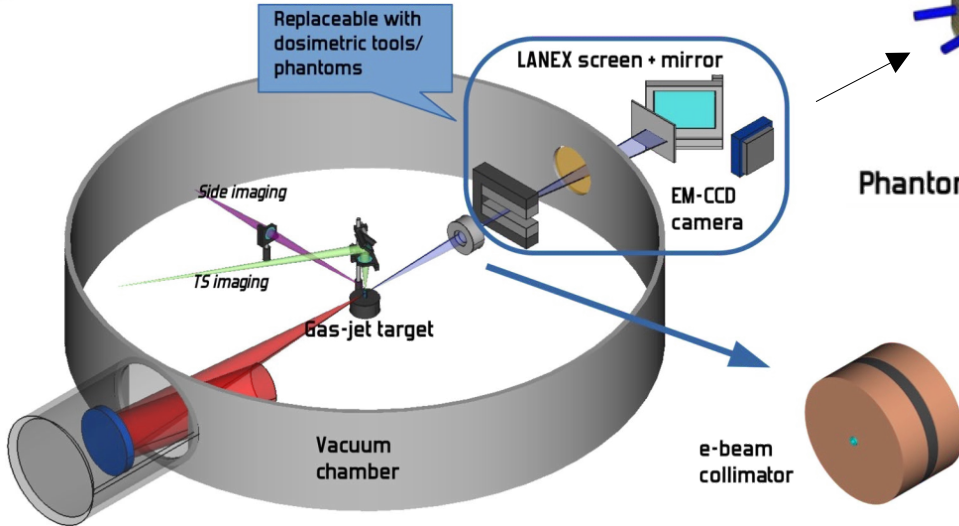


Lund et al., Med. Phys 2012

Distribution de dose dans équivalent-eau



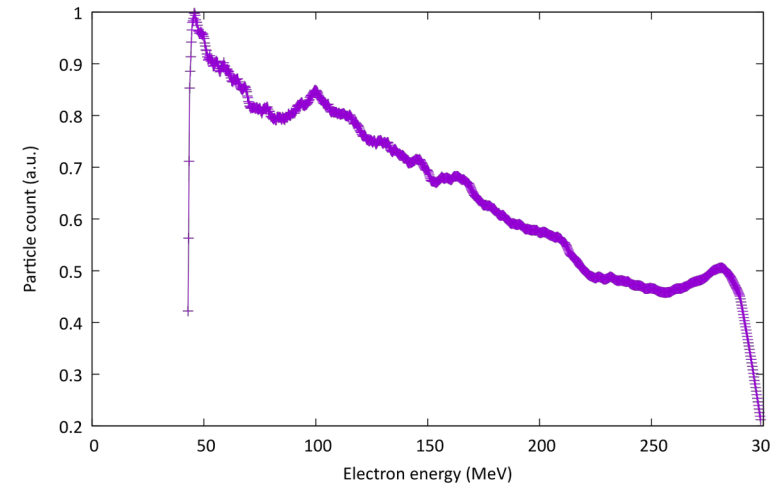
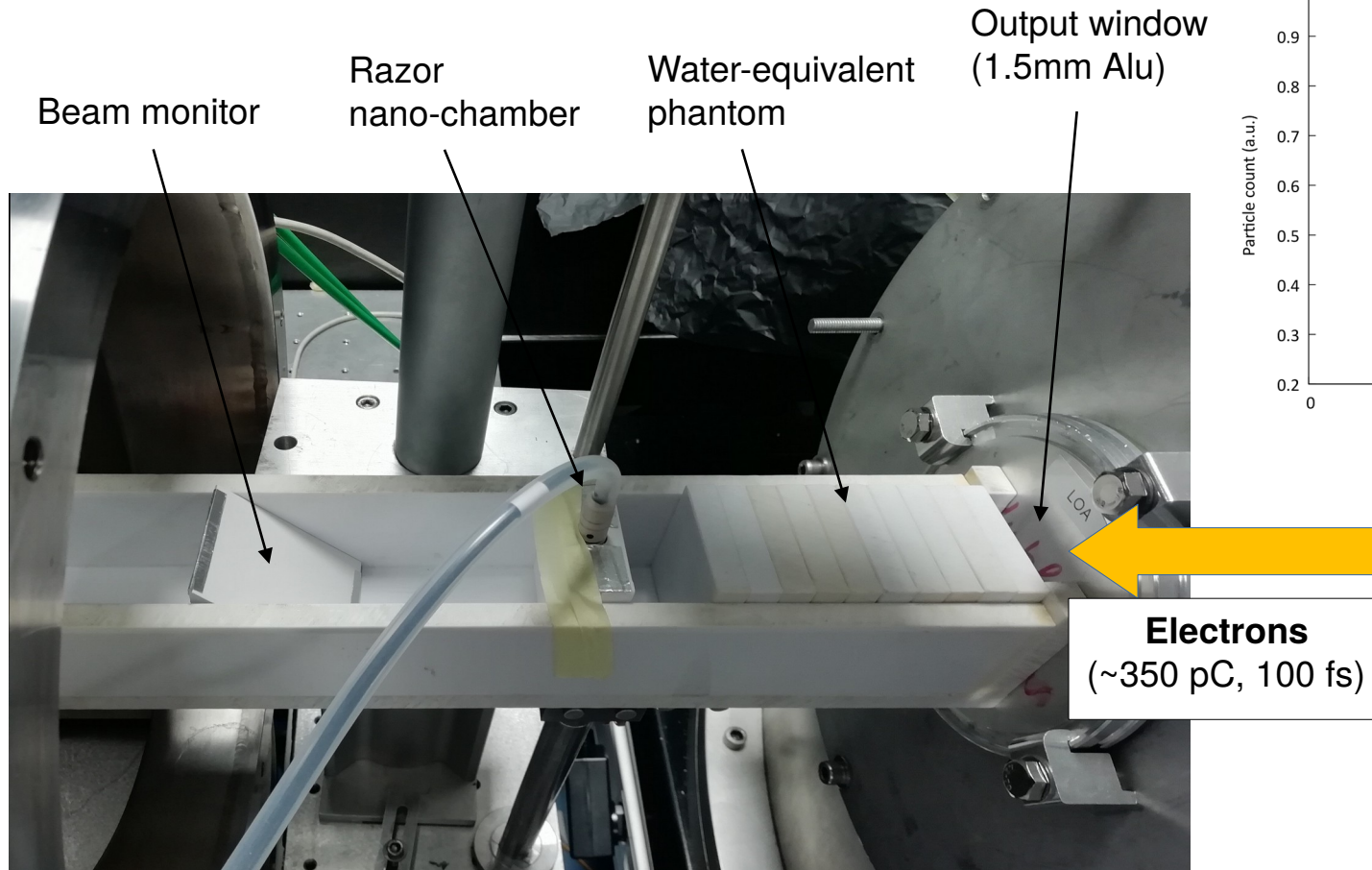
Irradiation multi-axe (Pise, 2020)



- Spectre large : 50 – 250 MeV
- Trou de filtrage
- Irradiation sur plusieurs axes

Labate, L. et al. SciRep 2020

Premières expériences en radiobiologie (LOA, 2022)



$D_{5\text{cm}} = 1.1 \text{ Gy/shot}$
 $D'_{5\text{cm},\text{inst}} > 1 \cdot 10^{13} \text{ Gy/s}$
 $D'_{5\text{cm},\text{avg}} = 66 \text{ Gy/min}$

$D_{10\text{cm}} = 400 \text{ mGy/shot}$
($\pm 3.5\% \text{ rms}$)
 $D'_{10\text{cm},\text{inst}} > 4 \cdot 10^{12} \text{ Gy/s}$
 $D'_{10\text{cm},\text{avg}} = 20 \text{ Gy/min}$
Diamètre: 1 cm^2

Conclusions électrons

- Accélérateur compacte ↗
- Gradient accélérateur assez important (GV/m) ↗
- Energies thérapeutiques déjà disponibles ↗
- Le spectre permet une marge de contrôle (LEE, VHEE, spectre, etc.) ↗
- Nécessité de filtrage du faisceau (mais pbs possible) ↘
- Option : « gantry tout optique » ↗



- Radiobiologie : étude de très haut débits de dose en modalité de « fractionnement rapide ».
- FLASH-Laser : une seule impulsion (problématique) ou grande puissance moyenne (possible).
- Applications pré-cliniques :
 - Protons : 4 mm SOBP, 10 Gy/tir (state-of-the-art).
 - Électrons : pas de limitation de pénétration, \sim Gy/tir.cm² (10s Gy/min)
- Perspective clinique ?



Fantôme d'irradiation VHEE (LOA, oct. 2023)

